

Г. Б. ШАХАЗИЗЯН

НЕСУЩАЯ СПОСОБНОСТЬ УДЛИНЕННОЙ ТРЕХСЛОЙНОЙ ПАНЕЛИ ПРИ ПОЛЗУЧЕСТИ

Рассматривается вопрос несущей способности прямоугольной удлиненной шарнирно опертой по длинным краям гибкой панели с двухсторонними симметричными тонкими усиливающими покрытиями и с начальной погибью, направленной против равномерно распределенной нагрузки $q^*(l)$. Материал покрытий считается упругим, а для среднего слоя имеют место соотношения наследственной теории ползучести Маслова—Арутюняна [1].

Вопросы несущей способности и устойчивости при ползучести исследованы в работах [2—17] и др. Подробная библиография и анализ работ в этой области даны в монографиях [2, 3, 4] и в обзорной статье [8]. Устойчивости бесконечно длинной цилиндрической панели посвящена работа [10]. Поведение металлической арки (балки) с учетом ползучести рассмотрено в статье [5]. В работе [7] исследуется влияние начальных неправильностей в форме оси арки на развитие процесса во времени, учитывается возможность несимметричного деформирования оси.

Исследование влияния ползучести на устойчивость пологих оболочек посвящена статья [12]. В работе [14] рассмотрена несущая способность круглой трехслойной плиты при ползучести.

§ 1. Общие зависимости. Рассмотрим слой панели единичной ширины (балочная плита), принимая гипотезу плоских сечений

$$\varepsilon_x = e_x + \kappa_x z \quad (1.1)$$

где e_x — деформация, а κ_x — кривизна срединной поверхности панели. Напряжения в крайних слоях определяются формулой

$$\sigma_{x1,2} = \frac{E_1}{1-\nu_1^2} (e_x \pm \kappa_x h) \quad (1.2)$$

В среднем слое, согласно соотношениям [1], имеем

$$\sigma_x(t) = \frac{E_2(t)}{1-\nu_2^2} [e_x(t) + \kappa_x(t) z] - \int_{-1}^t \frac{E_2(z)}{1-\nu_2^2} [e_x(z) + \kappa_x(z) z] R(t, z) dz \quad (1.3)$$

где

$$R(t, z) = \gamma(z) - \gamma + \frac{E_2'(z)}{E_2(z)} - \frac{D(z)}{E_2(z)} \int_z^t E_2(y) e^{-\int_y^z \gamma(s) ds} dy \quad (1.4)$$

Резольвента ядра ползучести —

$$K(t, z) = -E_2(z) \frac{\partial}{\partial z} \left\{ \frac{1}{E_2(z)} + \varphi(z) [1 - e^{-i(t-z)}] \right\} \quad (1.5)$$

Здесь

$$\begin{aligned} \gamma(z) &= \gamma [1 + \varphi(z) E_2(z)], & D(z) &= \gamma'(z) + \gamma(z) [\gamma(z) - \gamma] \\ \varphi(z) &= C_0 + \frac{A_1}{z}, & E_2(z) &= E_0 (1 - \beta e^{-z}) \end{aligned} \quad (1.6)$$

Для старого материала $\varphi(z) = C_0$, $E_2(z) = E_0$. Будем иметь

$$R(t, z) = i e^{-i(t-z)}, \quad i = \gamma E_0 C_0, \quad \gamma = \gamma (1 + E_0 C_0) \quad (1.7)$$

Из статических условий имеем

$$\begin{aligned} N_x &= (\sigma_{x_1} + \sigma_{x_2}) \Delta + \int_{-h}^h z_x dz \\ M_x &= (\sigma_{x_1} - \sigma_{x_2}) \Delta h + \int_{-h}^h z_x z dz \end{aligned} \quad (1.8)$$

Используя выражения напряжений в слоях (1.2), (1.3), из (1.8) получаем

$$\begin{aligned} N_x(t) &= H \left\{ [E_2^*(t) + \mu E_1^*] e_x(t) - \int_{z_1}^t E_2^*(z) e_x(z) R(t, z) dz \right\} \\ M_x(t) &= J \left\{ [E_2^*(t) + 3\mu E_1^*] z_x(t) - \int_{z_1}^t E_2^*(z) z_x(z) R(t, z) dz \right\} \end{aligned} \quad (1.9)$$

где

$$E_2^*(t) = \frac{E_2(t)}{1 - \gamma^2}, \quad E_1^* = \frac{E_1}{1 - \gamma_1^2}, \quad \mu = \frac{\Delta}{h}, \quad H = 2h, \quad J = \frac{2h^3}{3} \quad (1.10)$$

Между компонентами перемещения и деформациями срединной поверхности панели имеются зависимости

$$e_x = \frac{\partial u}{\partial x} + \frac{1}{2} \left[\left(\frac{\partial w_0}{\partial x} \right)^2 - \left(\frac{\partial w_0}{\partial x} \right)^2 \right], \quad z_x = -\frac{\partial^2 w}{\partial x^2} \quad (1.11)$$

Здесь $w_0(x)$ — начальная заданная погибь,
 $w(x, t)$ — прогиб от воздействия внешних сил, а

$$w_{*}(x, t) = w_0(x) + w(x, t)$$

§ 2. Вариационное уравнение задачи. Согласно принципу возможных перемещений имеем

$$\int_0^l [N_x(t) \delta e_x(t) + M_x(t) \delta z_x(t)] dx - \int_0^l q^*(t) \delta w(t) dx = 0 \quad (2.1)$$

Подставляя соотношения (1.11) в (2.1), интегрируя по частям и учитывая граничные условия

$$M_x = 0; \delta u = 0; \delta w = 0 \text{ при } x = 0 \text{ и } x = l \quad (2.2)$$

получаем вариационное уравнение

$$\int_0^l \left[\frac{\partial^2 M_x(t)}{\partial x^2} + N_x(t) \frac{\partial^2 w_*(t)}{\partial x^2} - q^*(t) \right] \delta w(t) dx = 0 \quad (2.3)$$

Положим

$$w_0(x) = -f_0 \sin \frac{\pi x}{l}, \quad w(x, t) = f(t) \sin \frac{\pi x}{l} \quad (2.4)$$

где f_0 — заданная начальная стрела прогиба, а $f(t)$ — неизвестный, изменяющийся во времени прогиб в середине панели.

Внося (1.9) и (2.4) в (2.3), интегрируя и вводя обозначения

$$\xi_0 = \frac{f_0}{H}, \quad \dot{\xi}(t) = \frac{f(t)}{H}, \quad E(t) = \frac{E_2^*(t)}{E_1^*}, \quad q(t) = \frac{q^*(t)}{E_1^*} \frac{48}{\pi^3} \left(\frac{l}{H} \right)^4 \quad (2.5)$$

получим нелинейное интегральное соотношение относительно $\xi(t)$

$$\begin{aligned} & [E(t) + 3\xi] \dot{\xi}(t) + 3[E(t) + \mu] [\dot{\xi}^3(t) - 3\xi_0 \dot{\xi}^2(t) + 2\dot{\xi}^2 \dot{\xi}(t)] - q(t) = \\ & = \int_{\xi_0}^t E(\tau) \dot{\xi}(\tau) R(t, \tau) d\tau + 3[\dot{\xi}(t) - \dot{\xi}_0] \int_{\xi_0}^t E(\tau) [\dot{\xi}^2(\tau) - 2\xi_0 \dot{\xi}(\tau)] R(t, \tau) d\tau \end{aligned} \quad (2.6)$$

Уравнение (2.6) сводится к системе из двух нелинейных интегральных уравнений типа Вольтерра относительно функций $\xi(t)$ и $\psi(t)$

$$\begin{aligned} & [E(t) + 3\xi] \dot{\xi}(t) + 3[\dot{\xi}(t) - \dot{\xi}_0] \psi(t) - \int_{\xi_0}^t E(\tau) \dot{\xi}(\tau) R(t, \tau) d\tau = q(t) \\ & [E(t) + \mu] [\dot{\xi}^2(t) - 2\xi_0 \dot{\xi}(t)] - \int_{\xi_0}^t E(\tau) [\dot{\xi}^2(\tau) - 2\xi_0 \dot{\xi}(\tau)] R(t, \tau) d\tau = \varphi(t) \end{aligned} \quad (2.7)$$

Подставляя выражение $R(t, \tau)$ из (1.4) в (2.7), после некоторых преобразований получим

$$\begin{aligned} & [E(t) + 3\mu] \dot{\zeta}(t) + 3[\dot{\zeta}(t) - \dot{\zeta}_0] \psi(t) - \int_{\zeta_0}^t E(\tau) \dot{\zeta}(\tau) \left[\eta(\tau) - \gamma + \frac{E'(\tau)}{E(\tau)} \right] d\tau + \\ & + \int_{\zeta_0}^t D(\tau) \dot{\zeta}(\tau) e^{\int_{\zeta_0}^{\tau} \eta(x) dx} d\tau - \int_{\zeta_0}^t E(y) e^{-\int_{\zeta_0}^y \eta(x) dx} dy = q(t) \quad (2.8) \\ & [E(t) + v] [\dot{\zeta}^2(t) - 2\dot{\zeta}_0 \dot{\zeta}(t)] - \int_{\zeta_0}^t E(\tau) [\dot{\zeta}^2(\tau) - 2\dot{\zeta}_0 \dot{\zeta}(\tau)] \left[\eta(\tau) - \gamma + \right. \\ & \left. + \frac{E'(\tau)}{E(\tau)} \right] d\tau + \int_{\zeta_0}^t D(\tau) [\dot{\zeta}^2(\tau) - 2\dot{\zeta}_0 \dot{\zeta}(\tau)] e^{\int_{\zeta_0}^{\tau} \eta(x) dx} d\tau - \int_{\zeta_0}^t E(y) e^{-\int_{\zeta_0}^y \eta(x) dx} dy = \varphi(t) \end{aligned}$$

Применяя к (2.8) формулу Дирихле о преобразовании двукратного интеграла, дифференцируя по t и обозначая $\dot{\zeta} = v$, $\dot{\psi} = w$, получим

$$\begin{aligned} & [E + 3(v + w)]v + 3(\dot{\zeta} - \dot{\zeta}_0)w - E(\eta - \gamma)\dot{\zeta} + Ee^{-\int_{\zeta_0}^{\dot{\zeta}} \eta(x) dx} \int_{\zeta_0}^{\dot{\zeta}} D\dot{\zeta} e^{\int_{\zeta_0}^{\tau} \eta(x) dx} d\tau = q \\ & 2(E + \mu)(\dot{\zeta} - \dot{\zeta}_0)v + E(\eta - \gamma)(\dot{\zeta}^2 - 2\dot{\zeta}_0\dot{\zeta}) + \quad (2.9) \\ & + Ee^{-\int_{\zeta_0}^{\dot{\zeta}} \eta(x) dx} \int_{\zeta_0}^{\dot{\zeta}} D(\dot{\zeta}^2 - 2\dot{\zeta}_0\dot{\zeta}) e^{\int_{\zeta_0}^{\tau} \eta(x) dx} d\tau = w \end{aligned}$$

Умножая обе части уравнений (2.9) на $e^{\int_{\zeta_0}^{\dot{\zeta}} \eta(x) dx}$, дифференцируя по t и производя необходимые выкладки, приходим к системе из четырех дифференциальных уравнений первого порядка с переменными коэффициентами.

$$\begin{cases} \dot{\zeta} = v, & v = \frac{a(\dot{\zeta}, t)v^2 + b(\dot{\zeta}, \psi, w, t)v + c(t)}{d(\dot{\zeta}, \psi, t)} \\ \dot{\psi} = w, & w = \frac{a_1(\psi, t)v^2 + b_1(\dot{\zeta}, \psi, w, t)v + c_1(\dot{\zeta}, t)}{d(\dot{\zeta}, \psi, t)} - m(t)w \end{cases} \quad (2.10)$$

Здесь введены обозначения

$$\begin{aligned} \alpha(\xi, t) &= 6(E + p)(\xi_0 - \xi); & c(t) &= \dot{q} + m(t)q; & m(t) &= \eta - \frac{E}{E} \\ b(\xi, \psi, \omega, t) &= -[\gamma E + 6(\gamma E + pm)(\xi_0 - \xi)^2 + 3m(\eta + \psi) + 6\omega] \quad (2.11) \\ d(\xi, \psi, t) &= E + 3(p + \psi) + 6(E + p)(\xi_0 - \xi)^2 \\ a_1(\psi, t) &= 2(E + p)[E + 3(p + \psi)]; & c_1(\xi, t) &= -2(E + p)(\xi_0 - \xi)c(t) \\ b_1(\xi, \psi, \omega, t) &= 2[E(2p + 3\psi)(m - \eta) + 6(E + p)\omega](\xi_0 - \xi) \end{aligned}$$

Принимая $t = \tau_1$, из (2.7) и (2.9) получим начальные условия системы дифференциальных уравнений (2.10)

$$\begin{aligned} [E(\tau_1) + 3p]\dot{\xi}_1 + 3[E(\tau_1) + p](\dot{\xi}_1^3 - 3\xi_0\dot{\xi}_1^2 + 2\dot{\xi}_0^2\xi_1) &= q(\tau_1) \\ \psi(\tau_1) &= [E(\tau_1) + p](\dot{\xi}_1^2 - 2\dot{\xi}_0\dot{\xi}_1) \quad (2.12) \\ v(\tau_1) &= \frac{\dot{q}(\tau_1) + E(\tau_1)[\eta(\tau_1) - \eta]|\dot{\xi}_1 + 3(\dot{\xi}_1^3 - 3\xi_0\dot{\xi}_1^2 + 2\dot{\xi}_0^2\xi_1)|}{E(\tau_1) + 3p + 3[E(\tau_1) + p](3\dot{\xi}_1^2 - 6\xi_0\dot{\xi}_1 + 2\dot{\xi}_0^2)} \\ \omega(\tau_1) &= 2[E(\tau_1) + p](\dot{\xi}_1 - \xi_0)v(\tau_1) - E(\tau_1)[\eta(\tau_1) - \eta](\dot{\xi}_1^2 - 2\dot{\xi}_0\dot{\xi}_1) \end{aligned}$$

где $\xi_1 = \xi(\tau_1)$ — действительный наименьший корень первого уравнения начальных условий (2.12).

§ 3. Критическое время панели. За критерий исчерпания несущей способности панели принимаем условие безграничного возрастания скорости прогиба ($v \rightarrow \infty$) [6, 8, 14]. Соответствующий момент времени $t = T$ при данной нагрузке q называется критическим временем панели.

Определим значение $q = q_0$, при котором потеря несущей способности (хлопок) происходит в начальный момент $T = \tau_1$. Приравнивая нулю знаменатель $v(\tau_1)$ из (2.12), получим соответствующее значение относительного прогиба:

$$\dot{\xi}_{10} = \dot{\xi}_0 - \frac{1}{\sqrt{3}}\sqrt{\dot{\xi}_0^2 - \dot{\xi}_0^2} \quad (3.1)$$

где

$$q_0 = \sqrt{\frac{E(\tau_1) + 3p}{3[E(\tau_1) + p]}} \quad (3.2)$$

Из формулы (3.1) следует, что для явления «хлопка» необходимо условие $\dot{\xi}_0 > 0$, в противном случае прогиб будет меняться монотонно со временем. Подставляя значение $\dot{\xi}_{10}$ из (3.1) в первое уравнение (2.12), находим значение критической нагрузки мгновенной несущей способности, при котором хлопок происходит в начальный момент $T = \tau_1$

$$q_0 = [E(\tau_1) + 3p]\dot{\xi}_{10} + 3[E(\tau_1) + p](\dot{\xi}_{10}^3 - 3\xi_0\dot{\xi}_{10}^2 + 2\dot{\xi}_0^2\dot{\xi}_{10}) \quad (3.3)$$

В дальнейшем индексом * обозначим значения величин, соответствующих времени $t \rightarrow \infty$. Предельным переходом при $t \rightarrow \infty$ из (2.7) и (2.9), учитывая (1.7), получим

$$\left(E_* + 3\mu - \frac{iE_*}{\tau_{i*}} \right) \ddot{\xi}_* + 3 \left(E_* + \mu - \frac{iE_*}{\tau_{i*}} \right) (\ddot{\xi}_*^3 - 3\ddot{\xi}_0\ddot{\xi}_*^2 + 2\ddot{\xi}_0^2\ddot{\xi}_*) = q_*, \quad (3.4)$$

$$v_* = \frac{q_*}{E_* + 3\mu + 3(E_* + \mu)(3\ddot{\xi}_*^2 - 6\ddot{\xi}_0\ddot{\xi}_* + 2\ddot{\xi}_0^2) - 3 \frac{iE_*}{\tau_{i*}} (\ddot{\xi}_*^2 - 2\ddot{\xi}_0\ddot{\xi}_*)} \quad (3.5)$$

Приравнивая нулю знаменатель v_* , находим значение $\ddot{\xi}_{*0}$, при котором возможен хлопок

$$\ddot{\xi}_{*0} = \ddot{\xi}_0 - 9 \sqrt{\frac{\ddot{\xi}_0^2 - \ddot{\xi}_1^2}{3}} \quad (3.6)$$

где

$$q_0 = \sqrt{\frac{E_* + \mu - \frac{iE_*}{\tau_{i*}}}{3(E_* + \mu) - \frac{iE_*}{\tau_{i*}}}}, \quad \ddot{\xi}_1 = \sqrt{\frac{E_* + 3\mu}{3(E_* + \mu - \frac{iE_*}{\tau_{i*}})}} \quad (3.7)$$

Очевидно, для возможности хлопка при $t \rightarrow \infty$ необходимо условие $\ddot{\xi}_0 > 0$. Подставляя значение $\ddot{\xi}_{*0}$ из (3.6) в (3.4), находим значение критической нагрузки длительной несущей способности q_{*0} , при котором хлопок может «происходить» в бесконечности ($t \rightarrow \infty$)

$$q_{*0} = \left(E_* + 3\mu - \frac{iE_*}{\tau_{i*}} \right) \ddot{\xi}_{*0} + 3 \left(E_* + \mu - \frac{iE_*}{\tau_{i*}} \right) (\ddot{\xi}_0^3 - 3\ddot{\xi}_0\ddot{\xi}_{*0}^2 + 2\ddot{\xi}_0^2\ddot{\xi}_{*0}) \quad (3.8)$$

При $q < q_0$, как следует из формул (3.4), (3.5), скорость прогиба панели в течение времени затухает (на фиг. 2 кривая — 0.7 q_0). Значение q_{*0} , определяемое по формуле (3.8), будет верхним значением «безопасной» нагрузки, которое и определяет длительную несущую способность панели. Для каждого значения q , находящегося между q_0 и q_{*0} , существует критическое время T , при котором происходит «хлопок».

§ 4. Задача релаксации. Можно поставить обратную задачу. Определить закон изменения $q(t)$, при котором прогиб панели остается постоянным во времени $w(x, t) = w(x, \tau_i) = \text{const}$.

Принимая в (2.7) $\xi(t) = \xi(\tau_i) = \ddot{\xi}_1 = \text{const}$, значение которого для приложенной нагрузки $q(\tau_i)$ определяется из первого уравнения начальных условий (2.12), получим

$$q(t) = [E(t) + 3\mu] \ddot{\xi}_1 + 3 [E(t) + \mu] (\ddot{\xi}_1^3 - 3\ddot{\xi}_0\ddot{\xi}_1^2 + 2\ddot{\xi}_0^2\ddot{\xi}_1) - \\ - [\ddot{\xi}_1 + 3(\ddot{\xi}_1^3 - 3\ddot{\xi}_0\ddot{\xi}_1^2 + 2\ddot{\xi}_0^2\ddot{\xi}_1)] \int_0^t E(\tau) R(t, \tau) d\tau \quad (4.1)$$

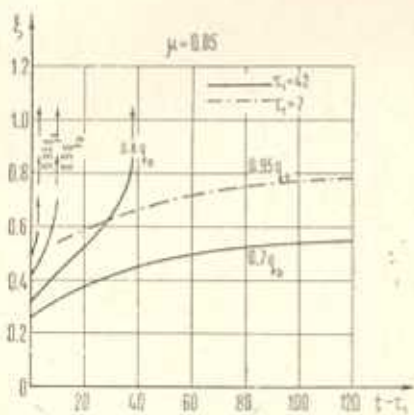
Отсюда

$$\frac{q(t)}{q(\tau_1)} = 1 - F(t) \int_{\tau_1}^t E(z) R(t, z) dz; \quad (4.2)$$

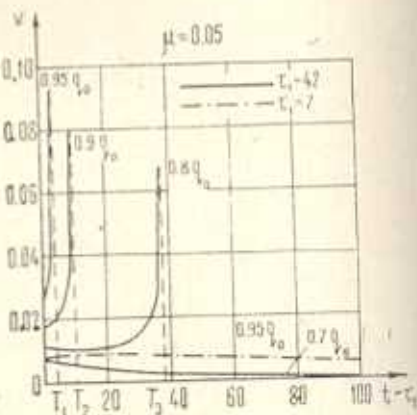
где обозначено

$$F(t) = \frac{\dot{\xi}_1 + 3(\dot{\xi}_1^2 - 3\xi_0 \dot{\xi}_1^2 + 2\xi_0^2 + 2\xi_0^2 \dot{\xi}_1)}{[E(t) + 3\mu](\dot{\xi}_1 + 3[E(t) + \mu](\dot{\xi}_1^2 - 3\xi_0 \dot{\xi}_1^2 + 2\xi_0^2 \dot{\xi}_1))} \quad (4.3)$$

Из выражения (4.2) следует, что $q(t)$ — монотонно убывающая функция.



Фиг. 1.



Фиг. 2.

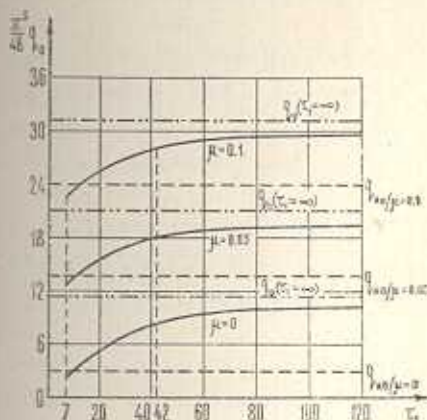
§ 5. Численный пример и основные выводы. В качестве примера возьмем железобетонную панель под действием равномерно распределенной постоянной нагрузки $q(t) = q = \text{const}$ при значениях параметров $E_1 = 2 \cdot 10^6 \text{ кг/см}^2$, $E_0 = 2 \cdot 10^5 \text{ кг/см}^2$, $C_0 = 0.9 \cdot 10^{-5} \text{ см}^2/\text{кг}$, $\alpha = 0.03 \frac{1}{\text{день}}$,

$$\beta = 1, \gamma = 0.026 \frac{1}{\text{день}}, \nu_1 = \nu = 0.3; \xi_0 = 1.$$

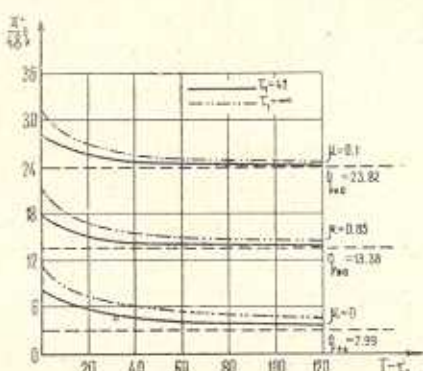
На основании численного интегрирования системы дифференциальных уравнений (2.10) с начальными условиями (2.12), а также уравнения (4.2), произведенного на ЭВМ «ЕС-1020» построены графики $\xi(t)$ и $v(t)$ от момента τ_1 до T (фиг. 1, 2). Для разных значений μ на фиг. 3, 4 изображены зависимости $q(\tau_1)$ и q от T для случаев $\tau_1 = 42$, $\tau_1 = \infty$. На фиг. 5 представлены кривые релаксации (4.2) для различных μ и τ_1 , когда $q(\tau_1) = 0.9 q_0$.

Из фиг. 4 заключаем, что с увеличением относительной толщины усиливющих слоев μ увеличиваются q_0 , q_{∞} и $\frac{q_{\infty}}{q_0}$.

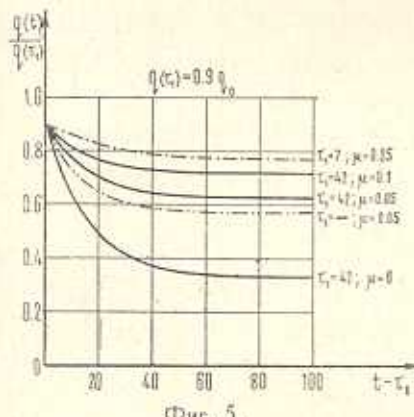
С увеличением возраста бетона τ_1 увеличивается q_0 (фиг. 3).



Фиг. 3.



Фиг. 4.



Фиг. 5.

При постоянном прогибе (задача релаксации) отношение $\frac{q(t)}{q(\tau_1)}$ (фиг. 5) уменьшается с увеличением τ_1 и уменьшением μ .

Ереванский политехнический
институт им. К. Маркса

Поступила 1 XII 1978

2. Р. ГУЛУГИДЗИАН

ԵՐԵՎԱՆԻՑԱՆ ԵԽՈՇԵՐՏ ՊԱՆԵԼԻ ԿՐԹՈՒԹՅԱԿՈՒԹՅՈՒՆԻ
ՍՈՒՐԵԱ ԳԵԳԲՈՒՄ

Ա. մ փ ո փ ո ւ մ

Հոգվածում բերվում է Հայաստանական բաշխված բնույն հակառակ ուղղված սկզբնական ձևաձերով երկարացված հոաշերտ պանելի կրողաւակության խնդիրը:

Արտարին շերտերի նյութը բնդունվում է առաձգական, իսկ միջին շերտի համար հաշվի է առնվազ սողքը ըստ Մասլով-Հարությունյանի ժառանգական տեսության:

Հնարավոր տեղափոխումների սկզբունքի հիման վրա կազմված է խնդրի վարիացիոն հավասարումը, որը բերվում է Վոլտերի տիպի ոչ-գծային ինտեգրալ հավասարումների սխալման, որից ստացվում է առաջին կարգի փոփոխական գործակիցներով չորս գիֆերենցիալ հավասարումներից կազմված սխալման:

Երկաթբետոնի պանելի օրինակի վրա ուժեղացնող շերտերի հարաբերական համատոթյան և բետոնի տարիքի տարրեր արժեկրերի դեպքում զիֆերենցիալ հավասարումների սխալման թվային ինտեղրման արգյունքները ներկայացված են գրաֆիկների միջոցով:

Պանելի ակնթարթային և երկարատև կրողանակության զեղությունը, հավասարաշափ բաշխված բետոնի ինտենսիվության որաշման համար ստացված են անալիտիկ արտահայտություններ:

CARRYING CAPACITY OF A LENGTHENED THREE-SHEET PANEL UNDER CREEP

H. B. SHAHAZIZIAN

Summary

The problem on carrying capacity of a rectangular lengthened three-sheet panel with an initial deflection directed against a uniformly distributed load is considered. The material of the external sheets is elastic while for the medium sheet, creep is taken into account in terms of the hereditary Maslov-Arutiunian theory.

On the basis of the possible displacement principle a variational equation of the problem is derived, which is reduced to a system of non-linear integral equations of the Volterra type, whereof a system of four differential equations with variable coefficients of the first order is obtained.

The results of numerical integration of the system of differential equations for the case of a ferro-concrete panel at various values of relative thickness of strengthening sheets and age of the concrete are shown in diagrams. Some analytical expressions are obtained to determine the critical load of the instantaneous and continuous carrying capacity of the panel.

ЛИТЕРАТУРА

1. Арутюнян Н. Х. Некоторые вопросы теории ползучести. ГИТТА, М., 1952.
2. Работнов Ю. Н. Ползучесть элементов конструкции. «Наука», М., 1966.
3. Работнов Ю. Н. Элементы наследственной механики твердых тел. «Наука», М., 1977.
4. Хофф Н. Продольный изгиб и устойчивость. ИЛ, М., 1955.

5. Rian T. H. H. Creep buckling of curved beam under lateral loading. Proc. 3rd. U. S. Nat. Congr. Appl. Mech. N. Y., 1958.
6. Работнов Ю. Н. и Шестериков С. А. Устойчивость стержней и пластинок в условиях ползучести. ПММ, 1957, т. 21, вып. 3.
7. Шестериков С. А., Кацелкин В. В., Сергеев М. В. Устойчивость пологих арок. «Деформирование и разрушение твердых тел». Изд-во МГУ, 1977.
8. Куршин Л. М. Устойчивость цилиндрических оболочек при ползучести. «Строительная механика и расчет сооружений», 1970, № 3.
9. Клошиков В. Д. О зависимости критических нагрузок от истории нагружения упругопластических пластин. «Механика деформируемых тел и конструкций». Сб. статей АН СССР, М., «Машиностроение», 1975.
10. Шепеленко В. Н. Устойчивость бесконечно длинной цилиндрической панели, защемленной по краю. «Изв. АН СССР, Механика», 1965, № 6.
11. Кацелкин В. В. Устойчивость арки при ползучести. «Научные труды Института механики», изд-во МГУ, 1973, № 23.
12. Малахова Н. А., Михеева Н. Р., Прокопович И. Е. О влиянии ползучести на устойчивость гибких оболочек, применяемых в качестве элементов строительных конструкций. Тр. VII Всесоюзной конференции по теории оболочек и пластин. М., «Наука», 1970.
13. Задоян М. А. Смешанное вариационное уравнение нелинейного ползучего тела и задача выпучивания призматического стержня. Изв. АН Арм. ССР, «Механика», 1968, т. 21, № 2.
14. Задоян М. А., Шахазадян Г. Б. О несущей способности круглой трехслойной пластины при ползучести. Изв. АН Арм. ССР, «Механика», 1978, т. 31, № 6.
15. Гереглов И. Г. Изгиб и устойчивость тонких пластин и оболочек при ползучести. М., «Наука», 1969.
16. Поголюк В. Д. О критерии устойчивости при ползучести. «Прикл. механика», 1973, т. 9, вып. 9.
17. Вольмир А. С. Устойчивость деформируемых систем. М., «Наука», 1967.
18. Задоян М. А. Применение вариационных методов теории ползучести при расчете железобетонных элементов. Изв. АН Арм. ССР, сер. техн. наук, 1975, т. 28, № 3.